

## マサ土の応力履歴とせん断強さについて

大阪工業大学 正会員 福田 譲  
 ○ 五洋建設(株) 正会員 木村修一

## 1. まえがき

マサ土は、土構造物の材料としてよく用いられ、このせん断強さは含水比および密度のみが重視されていたが、著者らはマサ土の特性から、力学的性質とりわけせん断強さは応力履歴に大きく依存することを示唆した。そこで、本報告では応力履歴を正規圧縮状態と過圧縮状態に区分し<sup>(1)</sup>、不飽和マサ土のせん断強さについて定量的な検討を行なった。実験の結果、不飽和マサ土のせん断強さは応力履歴に大きく影響されることが判明したので報告する。

## 2. 試料

(1) 採取地；奈良県生駒山 (2) 鉱物；石英・長石・雲母・カオリナイト (3) 比重；2.65 (4) 流動限界；24.8% (5) PH；5.4 (6) 燃熱減量；2.98 (7) 粒度；図-2 のようにマサ土としては粒径が細かい。(8) 供試土；自然乾燥後、約2.0mの高さから30回落落下調整し、2.0mm以上の粒子を除去し供試土とした。 $(P_{20} \text{ 通過百分率 } 90\%)$

## 3. 実験装置および方法

せん断試験機；径10.0cm、高さ4.0cm、の一面せん断試験機を用いた。実験は排気の条件で行ない、過圧縮試験の場合はある荷重(先行荷重)まで載荷した後、所定の荷重まで除荷してせん断力を測定した。

## 4. 実験結果とその考察

(1) 正規圧縮状態土；含水比 $w$ が一定とすると、 $\phi$ に関係なく強さは常数 $c$ として表現することができ、 $c_0$ と $w$ の関係を図-2に示す。これによると、 $c_0$ の値は約29°となり、 $w$ が大なるほど $c_0$ の値は若干小となる傾向を示した。参考として他の風化砂質土の $c_0$ との比較例を図-3に示す。

(2) 過圧縮状態土；図-4~6は応力履歴とせん断破壊応力の関係、また図-7はせん断破壊時の供試体高さの変化例を示したものである。図-4~6からわかるように、 $\phi_0$ が大なるほど屈筋も大となり、過圧縮効果を知ることができる。例えば、図-4で20%の $\phi$ の過圧縮による $T_{sp}$ の増加をみると、 $T_{sp}$ にくらべ $\phi_0=5.0 \text{ kg/cm}^2$ では約1.6倍、 $\phi_0=10.0 \text{ kg/cm}^2$ では約1.9倍、また $\phi_0=15.0 \text{ kg/cm}^2$ では約2.1倍

過塑性圧縮状態、弾性圧縮状態と呼ぶ方が適当かも知れないが、現在のところ上記の名称を用いる。

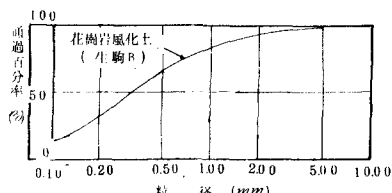


図-1 粒径加積曲線

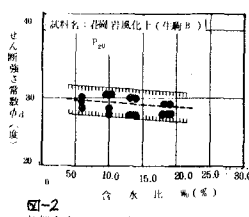


図-2 初期含水比とせん断強さ常数の関係

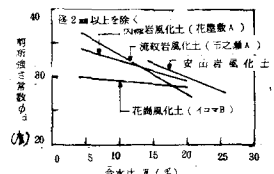


図-3 不飽和土の含水比とせん断強さ常数の関係

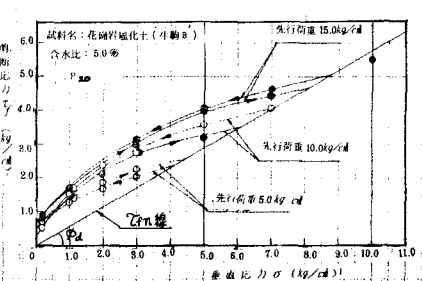


図-4 応力履歴と破壊せん断応力

の強度増加を示している。ひの異なる三種の試験結果をみると、 $w=9.4\%$ の過圧縮効果が他の二者(5.0%, 14.0%)にくらべ多少よいようであるが、あまり差異はない。除荷状態と再載荷状態の応力線は、図のように除荷の応力線が若干上方になり、粘性土の場合と同じようになる。また応力線は、あるひ以下になると急激に原線の上方に現われる。ここで、 $\sigma_0/\sigma_0$ を過圧縮比とし、 $\sigma_0/\sigma_0$ を正規圧縮土に対するせん断破壊応力比(過圧縮による強さ増加割合)とする。 $\sigma_0/\sigma_0$ および $\sigma_0/\sigma_0$ の関係をみると、図-8からわかるように、同じ値の $\sigma_0/\sigma_0$ において、 $\sigma_0$ が小さいほど過圧縮効果は大となる。また、 $\sigma_0/\sigma_0$ が約1.7以上になると、過圧縮効果が顕著にみられる。しかし、ここで留意すべきは、 $\sigma_0/\sigma_0$ が約1.7以下になると過圧縮効果がみとめられないことである。この性状は、粘性土のそれと大きな差異があり、風化砂質土の大きな特性であると考える。すなわち、この特性は、マサ土の主たる含有鉱物がなめらかな石英・長石で、また粘土鉱物も少量で活性度の低いカオリナイトであることによく由来しよう。また、過圧縮により強さ増加 $\Delta \sigma_0$ ( $\sigma_0 - \sigma_0$ )を生ずるのは、メニスカスが大きく関与しているものと考える。以上の結果を図-9のようにまとめる。この図はひと、せん断破壊時のひを対数紙上の両軸にとり、せん断強さ $S$ との関係を示したものであり、設計、施工上、有効な参考資料になるものと考える。ただし、この図は、土構造物に浸水がないことを条件としており、浸水が想定される場合は別途な考慮が必要であることを付記しておく。

### 5. あとがき

以上、マサ土のせん断強さと応力履歴について述べたが、次回は、他の風化砂質土との比較検討結果を報告する予定である。

参考文献；り、マサ土の圧縮性とせん断強さについて、福田謹、篠山豊紀、土木学会関西支部年次学術講演会概要集、III-1, 2, 48年6月

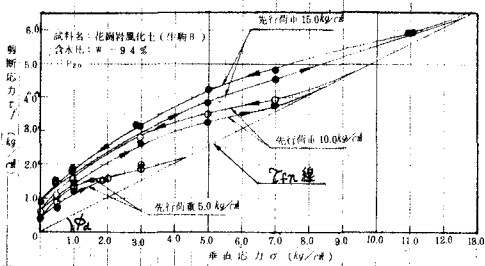


図-5 応力履歴と破壊ドン断応力

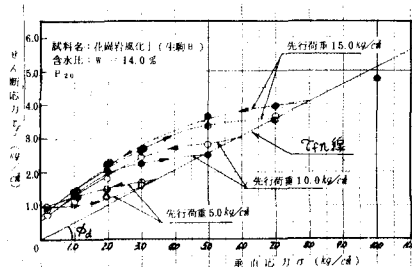


図-6 応力履歴と破壊セん断応力



図-7 応力履歴

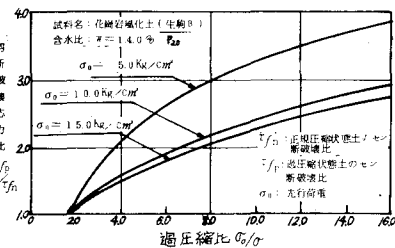


図-8 応力履歴とせん断強さの増加率

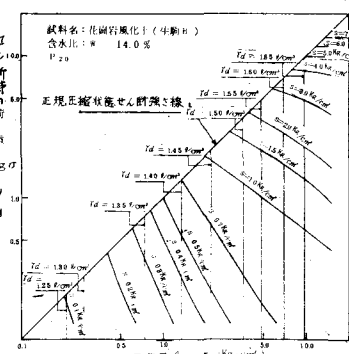


図-9 応力履歴とせん断強さ